

## Expression of Apoptotic Genes after Autotransplantation of Vitrified Rat Ovary Encapsulated with Hyaluronic Acid Hydrogel

Maryam Akhavantaheri<sup>1</sup> , Mojtaba Rezazadeh valojerdi<sup>2,3\*</sup> , Bita Ebrahimi<sup>3</sup>

<sup>1</sup>Gametogenesis Research Center, Kashan University of Medical Sciences, Kashan, Iran

<sup>2</sup>Dept of Anatomy, Faculty of Medical Sciences, Tarbiat Modares University, Tehran, Iran

<sup>3</sup>Dept of Embryology, Reproductive Biomedicine Institute, Royan Institute, Tehran, Iran

### Article Info

**Article type:**  
Research article

### Article History:

Received: 05 December 2020

Revised: 20 December 2020

Accepted: 18 July 2021

### \* Correspondence to:

Mojtaba Rezazadehvalojerdi  
Dept of Anatomy, Faculty of  
Medical Sciences, Tarbiat Modares  
University, Tehran, Iran  
Email mr-valojerdi@modares.ac.ir

### ABSTRACT

**Introduction:** Ischemia followed by apoptosis and follicles mortality are problems that occur after cryopreservation and ovarian tissue transplantation. The present study used hyaluronic acid hydrogel as a capsule to reduce ischemia and apoptosis in vitrified ovarian tissue transplantation of rats.

**Material & Methods:** In total, 22 adult female rats (~ 8-week old) with normal estrous cycle were ovariectomized, and their right ovaries were then vitrified and divided into two groups after being warmed, including vitrified-transplanted (VT) (n=11) and vitrified-encapsulated in hyaluronic acid hydrogel-transplanted (VT+HA) (n=11) that were auto transplanted into the dorsal muscle. Following that, a daily vaginal smear was obtained from the 4th day after transplantation of the rats. The ovaries were removed at the end of the first estrous cycle (approximately 15 days after transplantation), and some apoptotic genes including P53, c-Myc, Bax, Bcl-2, and Caspase 3 were evaluated by the real-time PCR.

**Findings:** All transplants were completely successful (100%). The results also showed that the expression of the P53, c-Myc, Bax, and Caspase 3 genes were higher in the VT group, compared to the VT+HA group. However, this difference was statistically significant only in the c-Myc gene (P<0.05).

**Discussion & Conclusion:** Hyaluronic acid hydrogel was able to reduce the rate of apoptosis in the capsule group (VT+HA), compared to the non-capsule group (VT) after transplantation.

**Keywords:** Apoptosis, Hyaluronic acid hydrogel, Ovarian tissue, Ovarian transplantation, Vitrification

### ➤ How to cite this paper

Akhavantaheri M, Rezazadehvalojerdi M, Ebrahimi B. Expression of Apoptotic Genes after Autotransplantation of Vitrified Rat Ovary Encapsulated with Hyaluronic Acid Hydrogel. Journal of Ilam University of Medical Sciences. 2022;29(5): 12-21.



## میزان بیان ژن‌های آپوپتوز پس از پیوند اتوگرافت بافت تخمدان انجمادی کپسوله شده با هیدروژل اسید هیالورونیک در رت

مریم اخوان طاهری<sup>۱</sup>، مجتبی رضازاده ولوجردی<sup>۲,۳\*</sup>، بیتا ابراهیمی<sup>۳</sup>

<sup>۱</sup> مرکز تحقیقات تولید سلول‌های جنسی، دانشگاه علوم پزشکی کاشان، کاشان، ایران

<sup>۲</sup> گروه آناتومی، دانشکده علوم پزشکی، دانشگاه تربیت مدرس، تهران، ایران

<sup>۳</sup> گروه جنین‌شناسی، پژوهشکده علوم تولیدمثل، پژوهشگاه رویان، تهران، ایران

### چکیده

### اطلاعات مقاله

نوع مقاله: پژوهشی

تاریخ دریافت: ۱۳۹۹/۰۹/۱۵

تاریخ داوری: ۱۳۹۹/۰۹/۳۰

تاریخ پذیرش: ۱۴۰۰/۴/۲۷

### نویسنده مسئول:

مجتبی رضازاده ولوجردی

گروه آناتومی، دانشکده علوم

پزشکی، دانشگاه تربیت مدرس،

تهران، ایران

Email:

mr\_valojerdi@modares.ac.ir

**مقدمه:** ایسکمی و به دنبال آن، آپوپتوز و مرگ‌ومیر فولیکول‌ها از مشکلاتی است که پس از انجماد و پیوند بافت تخمدان رخ می‌دهد. در مطالعه حاضر، با هدف کاهش ایسکمی و آپوپتوز، از هیدروژل اسید هیالورونیک به‌عنوان یک کپسول در بافت تخمدان انجمادی-پیوندی رت استفاده شد.

**مواد و روش‌ها:** ۲۲ رت ماده بالغ (۸ هفته) با سیکل استروس طبیعی، اوارکتومی گردید و سپس تخمدان سمت راست آن‌ها منجمد شد و پس از ذوب به دو گروه تقسیم گردیدند: انجمادی-پیوندی (VT) (n=11) و انجمادی کپسوله شده در هیدروژل اسید هیالورونیک-پیوندی (VT+HA) (n=11) که در داخل عضله پستی همان رت پیوند زده شد؛ سپس از روز ۴ پس از پیوند، روزانه از رت‌ها اسمیر واژن تهیه گردید و در پایان اولین سیکل استروس (تقریباً ۱۵ روز پس از پیوند)، تخمدان‌ها از بدن رت‌ها خارج شد و با روش Real time PCR، بعضی از ژن‌های دخیل در آپوپتوز از جمله Bcl-2، Bax، c-Myc، Caspase 3، Caspase 3 ارزیابی گردید.

**یافته‌ها:** نتایج نشان داد که همه پیوندها کاملاً موفقیت‌آمیز بود (۱۰۰ درصد پیوند موفق)؛ همچنین میزان بیان ژن‌های P53، Bcl-2، Bax، c-Myc، Caspase 3 در گروه VT بالاتر از گروه VT+HA بود. با این حال، تنها در مورد ژن c-Myc این اختلاف معنادار مشاهده شد ( $P < 0.05$ ).

**بحث و نتیجه‌گیری:** هیدروژل هیالورونیک اسید توانسته است پس از پیوند، میزان آپوپتوز را در گروه دارای کپسول (VT+HA) نسبت به گروه بدون کپسول (VT) کاهش دهد.

**واژه‌های کلیدی:** بافت تخمدان، انجماد شیشه‌ای، پیوند تخمدان، هیدروژل هیالورونیک اسید، آپوپتوز

**استناد:** اخوان طاهری، مریم؛ رضازاده ولوجردی، مجتبی؛ ابراهیمی، بیتا. میزان بیان ژن‌های آپوپتوز پس از پیوند اتوگرافت بافت تخمدان انجمادی کپسوله شده با هیدروژل اسید هیالورونیک در رت. مجله علمی دانشگاه علوم پزشکی ایلام، دی ۱۴۰۰؛ ۲۹(۵): ۲۱-۱۲.

## مقدمه

امروزه، تشخیص سرطان و درمان‌های آن شامل جراحی، شیمی‌درمانی و رادیوتراپی عمر مبتلایان را افزایش داده است؛ اما متأسفانه این درمان‌ها سبب آسیب به عروق خونی و فیروز کانونی قشر تخمدان، از دست رفتن منابع فولیکولی، نارسایی زودرس تخمدان و در نهایت کاهش باروری می‌شود (۳-۱). برای حفظ باروری در این بیماران چندین انتخاب وجود دارد که عبارت‌اند از: انجماد جنین، انجماد تخمک و انجماد بافت تخمدان. البته انتخاب هریک از این روش‌ها به نوع سرطان، روش درمانی، زمان رادیوتراپی، سن و وضعیت بیمار بستگی دارد (۴). انجماد جنین و انجماد تخمک برای همه بیماران از جمله دختران نابالغ و زنان مجرد قابل استفاده نیست؛ بنابراین، انجماد بافت تخمدان به عنوان یک تکنیک ارزشمند برای حفظ باروری در زنان و کودکانی است که تحت درمان‌های سیتوتوکسیک (شیمی‌درمانی و رادیوتراپی) قرار گرفته‌اند؛ همچنین این تکنیک برای حفاظت از گونه‌های حیوانی در حال انقراض قابل استفاده است (۵). از دیگر مزایای انجماد بافت تخمدان اینکه تعداد فراوانی فولیکول بدوی و اولیه ذخیره می‌شود، نیاز به تأخیر در روند درمان سرطان نیست و علاوه بر آن، این روش را می‌توان در هر مرحله از سیکل تولیدمثلی انجام داد (۶،۷).

پس از انجماد و ذوب بافت تخمدان، سه راهکار برای رشد فولیکول‌های موجود در بافت وجود دارد که عبارت‌اند از: ۱. کشت آزمایشگاهی قطعات بافتی؛ ۲. کشت آزمایشگاهی فولیکول‌های جدا شده از بافت و ۳. پیوند بافت منجمد و ذوب شده به خود فرد (اتوگرافت) یا به گونه دیگر (زنوگرافت). کشت تخمدان انسانی و فولیکول‌های کوچک جدا شده از بافت انجمادی در مرحله تحقیقاتی هستند و هنوز بالینی نشده‌اند (۸). از سال ۱۸۶۳ تا کنون، مطالعات متعددی روی پیوند بافت تخمدان در حیوانات و حتی انسان صورت گرفته که تا امروز، به تولد بیش از ۲۰۰ نوزاد انسان منجر شده است (۹،۱۰).

از سوی دیگر، موفقیت پیوند تخمدان به عوامل متعددی از جمله محل پیوند، بستر عروقی، دوره ایسکمی، تکنیک به کار گرفته شده در جراحی و عوامل محیطی دخیل در تسریع رگ‌زایی بستگی دارد (۱۱). علی‌رغم قابل برگشت بودن فعالیت تخمدان پس از پیوند، ذخایر فولیکولی به علت صدمات ایسکمیک به شدت کاهش می‌یابد (۱۲). ایسکمی ایجاد شده پس از پیوند بافت، با به راه انداختن مسیر آپوپتوز، به آسیب بافتی و مرگ فولیکول‌ها و کاهش ذخیره فولیکولی به میزان ۶۰-۹۵ درصد منجر می‌شود که این میزان شامل آسیب به همه جمعیت فولیکول‌های در حال رشد است (۱۳). از آنجا که کاهش آپوپتوز بر شروع دوباره فعالیت تخمدانی مؤثر است، برای این منظور تدابیر مختلفی به کار گرفته شده است، از آن جمله می‌توان به استفاده از داربست‌ها (۱۴،۱۵)، فاکتورهای رشد، هورمون‌ها و آنتی‌اکسیدان‌ها در حین یا پس از پیوند اشاره کرد (۱۶)؛ بنابراین، در این مطالعه از داربست اسید هیالورونیک به منظور کاهش آپوپتوز پس از پیوند استفاده شد.

اسید هیالورونیک یا هیالورونان یک نوع گلیکوزآمینوگلیکان است که از واحدهای تکرار شونده د-گلوکورونیک اسید و ان-استیل گلوکز آمین تشکیل شده است و در بافت همبند مهره‌داران یافت می‌گردد (۱۷). این ماده در تکامل جنین، شکل‌گیری بافت‌ها و ترمیم زخم و آنژیوژنز نقش دارد (۱۸)؛ بنابراین، در این مطالعه از هیدروژل اسید هیالورونیک به منظور کاهش آپوپتوز پس از پیوند بافت تخمدان انجمادی استفاده شد؛ همچنین برای بررسی بهتر و ساده‌تر ژن‌های دخیل در آپوپتوز، برخی مطالعات این فرایند را به چهار مرحله تقسیم می‌کنند: اولین مرحله، دریافت یک محرک کشنده نیرومند توسط سلول است که این محرک می‌تواند پاتولوژیک یا فیزیولوژیک باشد؛ دومین مرحله آپوپتوز، روند مولکولی داخل سلولی است که پس از دریافت تحریکات خارج سلولی، در داخل سلول به راه

۱. در مرحله اول، تخمدان‌ها در محلول تعادلی حاوی HEPES tissue culture medium (HTCM) ترکیب دو ضدیخ اتیلن گلیکول و دی‌متیل سولفوکساید (DMSO) تهیه شده از شرکت سیگما (D2650, sigma) (هر کدام به میزان ۷/۵ درصد) و ۲۰ درصد آلبومین سرم انسانی (HSA) قرار داده و به مدت ۲۵ دقیقه در دمای محیط، روی لرزاننده الکتریکی (شیکر) گذاشته شدند.

۲. در مرحله دوم، تخمدان‌ها وارد محلول انجمادی دوم حاوی HTCM، ترکیب دو ضدیخ اتیلن گلیکول و DMSO (هر کدام به میزان ۲۰ درصد) و ۰/۵ مول سوکروز گردید و به مدت ۱۵ دقیقه روی شیکر قرار داده و بلافاصله در نیتروژن مایع (۱۹۶°C-) به مدت ۳۰ دقیقه فرورنده شدند؛ سپس تخمدان‌ها از داخل نیتروژن خارج و بلافاصله وارد مرحله ذوب گردیدند. ذوب در سه مرحله صورت گرفت: ۱. ابتدا تخمدان در محلول HTCM و ۱ مول سوکروز به مدت ۱ دقیقه و در دمای ۳۷°C قرار گرفت؛ ۲. سپس تخمدان در محلول HTCM و ۰/۵ مول سوکروز به مدت ۵ دقیقه و در دمای اتاق نگهداری شد؛ ۳. در مرحله سوم، تخمدان در محلول HTCM به تنهایی، به مدت ۱۰ دقیقه و در دمای اتاق قرار گرفت.

انکپسوله کردن بافت تخمدان با هیدروژل هیالورونیک اسید: در گروه کنترل که نیازی به کپسوله کردن بافت تخمدان نبود، تخمدان انجمادی ذوب شده هر رت به داخل عضله پشتی بزرگ همان رت پیوند زده شد. در گروه آزمایشی از کیت هیدروژل اسید هیالورونیک (America, Advance BioMatrix) استفاده گردید. این کیت از سه جزء اصلی Heprasil®، Gelin-S™ و Extralink® تشکیل شده است. برای کار با این کیت، بر طبق پروتکل، هریک اجزای آن در آب دیونیزه موجود در کیت حل گردید؛ سپس داخل یک پتری دیش استریل ۴۰ میکرولیتر از Heprasil و ۴۰ میکرولیتر از Gelin-S ترکیب شد و پس از ۱۰ دقیقه شیکینگ، ۲۰ میکرولیتر از Extralink با آن‌ها مخلوط و پس از چند بار پیچاژ تخمدان در داخل آن قرار داده شد و به مدت ۲۰ دقیقه روی صفحه

می‌افتد؛ در مرحله سوم، این سیگنال‌های مولکولی ایجاد شده به منظور یکپارچه‌سازی به مراکز تنظیم کننده می‌رسند تا تصمیم نهایی مرگ یا زندگی گرفته شود. اگر سلول از این مرحله عبور کند، مرحله چهارم شامل مولکول‌های مؤثر مورد نیاز برای از بین بردن سلول است (۱۹). در مطالعه حاضر، از هر مرحله آپوپتوز چند ژن انتخاب و میزان بیان هریک بررسی شد.

## مواد و روش‌ها

اوارکتومی و انجماد-ذوب بافت تخمدان: در این پژوهش، از ۲۲ سر موش صحرایی (رت) ماده بالغ (۸ هفته‌ای) ۱۰۰ تا ۱۵۰ گرمی نژاد ویستار، تهیه شده از موسسه تحقیقاتی پاستور (موسسه پاستور، ایران، تهران) استفاده گردید. حیوانات همگی در شرایط یکسان و در یک اتاق کنترل شده از نظر حرارت و رطوبت و در سیکل ۱۲ ساعت نور و ۱۲ ساعت تاریکی نگهداری شدند. شرایط نگهداری و مراحل جراحی به تأیید کمیته اخلاق دانشگاه تربیت مدرس (کد اخلاق: ۵۲۱۱۲۴۲۹) رسید. یک هفته پیش از شروع جراحی‌ها، برای اطمینان از داشتن سیکل تولیدمثلی مرتب، روزانه از همه موش‌های صحرایی اسمیر واژن تهیه شد. موش‌های صحرایی دارای دست کم ۲ سیکل استروس مرتب متوالی، درحالی که در مرحله دی‌استروس سیکل تولیدمثلی خود بودند، برای انجام جراحی انتخاب و به دو گروه کنترل (پیوند بافت تخمدان انجمادی بدون هیدروژل اسید هیالورونیک؛ VT) و گروه آزمایشی (پیوند بافت تخمدان انجمادی کپسوله شده در هیدروژل اسید هیالورونیک به تنهایی؛ VT+HA) تقسیم گردیدند. موش‌های صحرایی به وسیله داروهای کتامین (۵۰ mg/kg) و زایلازین (۵ mg/kg) بیهوش شدند؛ سپس تخمدان‌های دو طرف از بدن رت‌ها خارج گردید (اوارکتومی) و تخمدان‌های سمت راست سریعاً منجمد شدند. فرمول محلول انجمادی که برای هر دو گروه استفاده گردید، بر اساس روش Kagawa بود (۲۰، ۲۱) که جزئیات آن به این شرح است:

گرم (Tokai-Hit thermoplate, Japan) قرار گرفت. دمای ۳۷ درجهٔ صفحهٔ گرم باعث ژله‌ای شدن این سه ترکیب پس از ۲۰ دقیقه می‌شود، به طوری که یک لایه ژل روی تخمدان تشکیل گردید؛ سپس بافت به داخل عضلهٔ پشتی همان رت پیوند و در نهایت، عضلات به کمک نخ قابل جذب P.G.A، ۵/۰ و پوست بانخ غیر قابل جذب نایلون ۴/۰ بخیه زده شد.

بررسی میزان بیان ژن‌های آپوپتوز: برای این منظور، در پایان اولین سیکل استروس پس از پیوند، تخمدان‌ها از بدن موش‌های صحرایی خارج شد و میزان بیان ژن‌های آپوپتوزی از جمله P53، c-Myc (مربوط به مرحلهٔ دوم آپوپتوز)، Bcl-2، Bax (مربوط به مرحلهٔ سوم آپوپتوز) و Caspase3 (مربوط به مرحلهٔ چهارم آپوپتوز) به روش کمی Real Time PCR با یکدیگر مقایسه گردید. مراحل بررسی مولکولی به این ترتیب صورت گرفت: الف. استخراج RNA به روش دستی و با استفاده از ترايزول (Sigma, St. Louis, MO)؛ ب. بررسی کمیت RNA با استفاده از جذب نوری به کمک دستگاه اسپکتروفتومتر نانودراپ (Thermo Scientific, Wilmington, DE)؛ ج. بررسی کیفیت RNA با استفاده از الکتروفورز ژل

آگارز؛ د. حذف آلودگی DNA ژنومی با کیت DNase I تهیه شده از شرکت Fermentas؛ ه. ساخت رشتهٔ مکمل mRNA با استفاده از کیت سنتز cDNA شرکت Fermentas و تکثیر آن با استفاده از (Applied Biosystems) Real Time PCR.

پرایمرها توسط نرم‌افزار کامپیوتری Allel ID و perlprimer طراحی شد و سپس توسط نرم‌افزار Gene Runner و Blast، پرایمرها برای اطمینان از یکتا بودن محل جفت شدن ارزیابی گردیدند. پرایمرها توسط شرکت سیناژن (تهران- ایران) ساخته شد و از ژن Actin beta (ACT-β) به عنوان کنترل داخلی استفاده گردید (جدول شمارهٔ ۱).

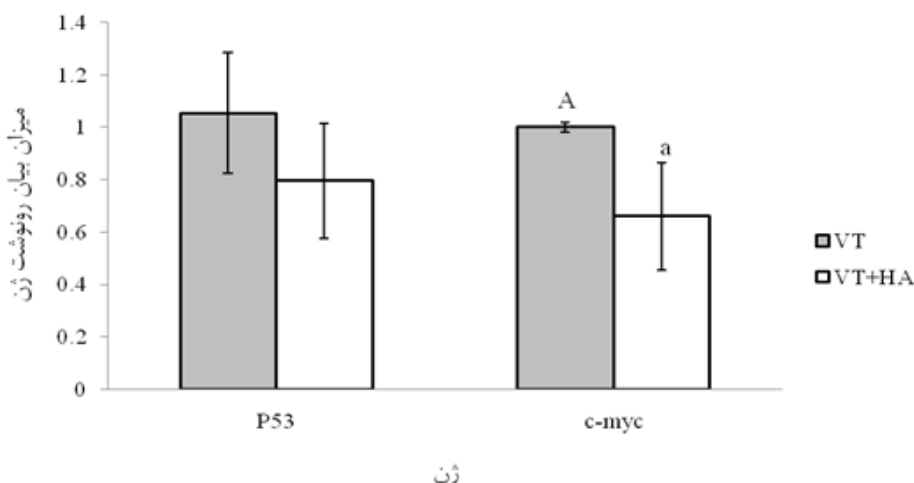
آنالیز آماری داده‌ها: نتایج به دست آمده از آزمایش‌های مختلف به صورت میانگین  $\pm$  خطای استاندارد (Mean  $\pm$  SEM) بیان گردید. برای تحلیل نتایج به دست آمده از Real time-PCR، ابتدا با فرمول  $2^{-\Delta\Delta CT}$  داده‌های خام به داده‌های قابل تفسیر تبدیل شد. به منظور مقایسهٔ میانگین بیان ژن‌ها، داده‌ها با استفاده از نرم‌افزار SPSS vol.22 و آزمون Mann-Whitney تجزیه و تحلیل گردید. سطح معنی داری  $P < 0.05$  در نظر گرفته شد.

جدول شمارهٔ ۱. ویژگی پرایمرهای اختصاصی طراحی شده

| ردیف | Target gene | Primer pair sequences                                | Accession number | Fragment size(bp) | Annealing temperature (°C) |
|------|-------------|--|------------------|-------------------|----------------------------|
| ۱    | ACT-β       | F:CGTTGACATCCGTAAGACC<br>R:ATAGAGCCACCAATCCACAC      | NM_031144.3      | 177               | 56.56<br>57.28             |
| ۲    | c-Myc       | F: CTATTTGGGGACAGTGTCTC<br>R: GGTCATAGTTCCTGTTAGCG   | NM_012603.2      | 155               | 55.67                      |
| ۳    | P53         | F: CCCTGAAGACTGGATAACTG<br>R: GGCAGAATATCATCTGGAG    | NM_030989.3      | 121               | 54.86<br>55.07             |
| ۴    | Bax         | F: TTTGCTACAGGGTTTCATCCAG<br>R: GTCCAGTTCATCGCCAATTC | NM_017059.2      | 139               | 58.58<br>57.17             |
| ۵    | Bcl-2       | F: GAGAGCGTCAACAGGGAGAT<br>R: ACAGCCAGGAGAAATCAAACA  | NM_016993.1      | 169               | 59.18<br>57.77             |
| ۶    | Caspase3    | F: ATGGACAACAACGAAACCTC<br>R: GTACCATTGCGAGCTGAC     | NM_012922.2      | 200               | 56.27<br>55.91             |

بررسی موفقیت پیوند و سیکل استروس: ۱۱ سررت از گروه VT و ۱۱ سررت از گروه VT+HA تحت جراحی قرار گرفتند. در هر دو گروه، درصد موفقیت پیوند بر اساس برقراری دوباره سیکل استروس پس از پیوند تخمدان انجمادی بررسی گردید، به این صورت که در هر گروه، رت‌هایی که پس از پیوند، سیکل استروس‌شان دوباره برقرار شد، به‌عنوان پیوند موفق تلقی گردید و در پایان اولین سیکل استروس، تخمدان‌های آن‌ها برای مطالعات بعدی جمع‌آوری شد. در هر دو گروه همه پیوندها کاملاً موفقیت‌آمیز بود (۱۰۰ درصد پیوند موفق). نتایج مربوط به شمارش فولیکولی این مطالعه در مجله *Biopreservation and Biobanking* به چاپ رسید (21).

ژن‌های P53، c-Myc مربوط به مرحله دوم آپوپتوز، Bcl-2، Bax (مربوط به مرحله سوم آپوپتوز) و Caspase3 (مربوط به مرحله چهارم آپوپتوز) پس از پایان سیکل اول استروس، از طریق تکنیک *real time PCR*، بر اساس میزان بیان ژن کنترل *Actin beta (ACT-β)* بررسی و در دو گروه VT و VT+HA با یکدیگر مقایسه شدند. نتایج مربوط به میزان بیان رونوشت این ژن‌های به شرح ذیل است:



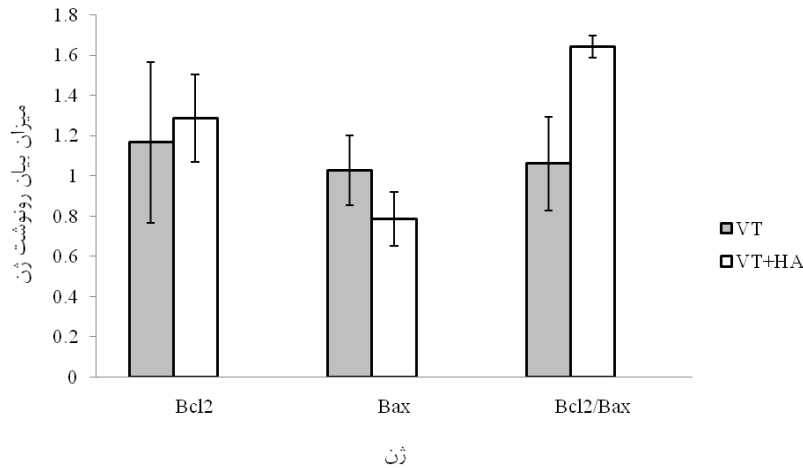
بیان ژن‌های P53 و c-Myc (مربوط به مرحله دوم آپوپتوز): از نظر میزان بیان رونوشت ژن p53 اختلاف معناداری میان دو گروه مشاهده نشد؛ اما میزان بیان رونوشت ژن c-myc در گروه VT+HA به‌طور معناداری کمتر از گروه VT بود ( $P < 0.05$ ) (شکل شماره ۱).

بیان ژن‌های Bcl-2 و Bax (مربوط به مرحله سوم آپوپتوز): میزان بیان رونوشت ژن Bcl2 از لحاظ آماری، میان دو گروه معنادار نبود. سطح بیان ژن Bcl2 در گروه VT  $12/0 \pm 01/1$ ، در گروه VT+HA  $01/0 \pm 24/1$  ارزیابی شد؛ همچنین میزان بیان رونوشت ژن Bax در گروه VT  $17/0 \pm 02/1$  مشاهده گردید که نسبت به گروه VT+HA  $13/0 \pm 78/0$  این اختلاف معنادار نبود.

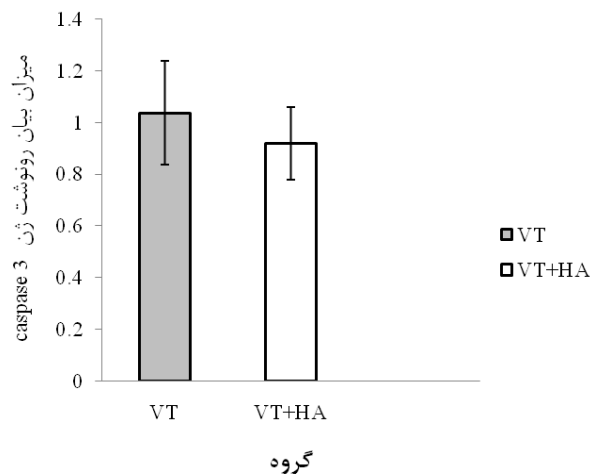
نسبت بیان رونوشت ژن‌های Bcl2 و Bax (Bcl2/Bax) نیز میان گروه‌ها با یکدیگر مقایسه شد. به این ترتیب، سطح بیان نسبی Bcl2/Bax در گروه VT  $05/0 \pm 00/1$  و در گروه VT+HA  $30/0 \pm 64/1$  بود، هرچند این اختلاف از لحاظ آماری معنادار نبود (شکل شماره ۲).

بیان ژن Caspase3: میزان بیان ژن Caspase3 در گروه VT  $1/0 \pm 00/05$  بیشتر از گروه VT+HA  $0/0 \pm 80/04$  بود؛ اما اختلاف آماری معناداری میان دو گروه دیده نشد (شکل شماره ۳)

**شکل شماره ۱.** میزان بیان ژن‌های P53 و c-Myc (مربوط به مرحله دوم آپوپتوز) یک سیکل استروس پس از پیوند در دو گروه پیوندی. داده‌ها به‌صورت میانگین میزان بیان رونوشت ژن‌های آپوپتوتیک نسبت به ژن  $ACT-\beta \pm$  میانگین خطای استاندارد (SEM) ارائه شده‌اند. VT. پیوند بافت تخمدان انجمادی؛ VT+HA. پیوند بافت تخمدان انجمادی کپسوله‌شده در هیدروژل اسید هیالورونیک. ستون‌های دارای حروف انگلیسی بزرگ و کوچک مشابه (A با a) با یکدیگر اختلاف معنادار دارند ( $P < 0.05$ ).



**شکل شماره ۲.** میزان بیان ژن‌های Bcl-2 و Bax (مربوط به مرحله سوم آپوپتوز) و Bcl2/Bax، یک سیکل استروس پس از پیوند در دو گروه پیوندی. داده‌ها به صورت میانگین میزان بیان رونوشت ژن‌های آپوپتوتیک نسبت به ژن  $\beta$ -ACT  $\pm$  میانگین خطای استاندارد (SEM) ارائه شده‌اند. VT. پیوند بافت تخمدان انجمادی؛ VT+HA. پیوند بافت تخمدان انجمادی کپسوله شده در هیدروژل اسید هیالورونیک. هیچ اختلاف معناداری میان دو گروه مشاهده نشد.



**شکل شماره ۳.** میزان بیان ژن Caspase3 (مربوط به مرحله چهارم آپوپتوز)، یک سیکل استروس پس از پیوند در دو گروه پیوندی. داده‌ها به صورت میانگین میزان بیان رونوشت ژن Caspase3 نسبت به ژن  $\beta$ -ACT  $\pm$  میانگین خطای استاندارد (SEM) ارائه شده‌اند. VT. پیوند بافت تخمدان انجمادی؛ VT+HA. پیوند بافت تخمدان انجمادی کپسوله شده در هیدروژل اسید هیالورونیک. هیچ اختلاف معناداری میان گروه‌ها مشاهده نشد.

## بحث و نتیجه گیری

از هیدروژل اسید هیالورونیک با خاصیت رگ‌زایی، با هدف سرعت بخشیدن به فرایند آنژیوژنز، کاهش آپوپتوز و حفظ ذخایر فولیکولی پس از پیوند بافت تخمدان انجمادی رت استفاده شد. با این حال، کاربرد هیدروژل اسید هیالورونیک به‌تنهایی در میزان موفقیت پیوند تغییری ایجاد نکرد و در هر دو گروه درصد موفقیت پیوند یکسان بود.

P53 یکی از مهم‌ترین مهارکننده‌های چرخه تکثیر سلولی است که آن را محافظ ژنوم نیز می‌نامند. این مولکول با ایجاد وقفه در مرحله G2، سبب مهار چرخه

موفقیت پیوند بافت تخمدان هتروتوپیک (بدون آناستوموز عروقی) به رشد عروق خونی جدید وابسته است. رشد سریع‌تر عروق سبب کاهش صدمات ایسکمیک و در نتیجه، بازگشت سریع‌تر فعالیت تخمدانی می‌شود. با توجه به مطالعات انجام‌شده، بهبود کیفیت و کاهش آپوپتوز بافت تخمدان پیوندی می‌تواند از طرق مختلف از جمله استفاده از عوامل مؤثر در رگ‌زایی همچون فاکتورهای رشد (۲۲)، فیبرین (۱۲) و چسب اسید هیالورونیک (۲۳) به‌دست آید. در مطالعه حاضر،



این خانواده در پستانداران چهارده عضو دارد که یازده عضو آن آنزیم‌های انسانی هستند. این آنزیم‌ها مسیر مرگ را هماهنگ می‌کنند و نقش مهمی در پیشبرد مرگ سلولی دارند (۲۸). کاسپازها مربوط به مرحله چهارم آپوپتوز هستند. کاسپازها را معمولاً به دو گروه کاسپازهای آغازگر شامل کاسپازهای ۸، ۹، ۱۰ و ۱۲ با پرودیمین طویل و کاسپازهای اجراکننده شامل کاسپازهای ۳، ۶ و ۷ با پرودیمین کوتاه تقسیم می‌کنند. در واقع، کار اصلی کاسپازهای آغازگر فعال کردن کاسپازهای اجراکننده است (۲۹). در این مطالعه، میزان رونوشت کاسپاز ۳ میان دو گروه مقایسه گردید و علی‌رغم بالاتر بودن سطح بیان این ژن در گروه VT، تفاوت معناداری میان دو گروه مشاهده نشد.

این نتایج نشان می‌دهد علی‌رغم معنادار نبودن بسیاری از تفاوت‌ها، در همه ژن‌ها الگوی بیان یکسانی مشاهده شد و هیدروژل اسید هیالورونیک توانست فرایند آپوپتوز را پس از پیوند، نسبت به گروه بدون کپسول کاهش دهد. با توجه به خاصیت رنگ‌زایی هیالورونیک اسید (۳۰)، این نتیجه دور از انتظار نیست؛ بنابراین پیشنهاد می‌شود بیان این ژن‌ها در زمان طولانی‌تری پس از پیوند نیز ارزیابی گردد؛ زیرا در طولانی‌مدت با مرگ‌ومیر سلول‌های بیشتر ممکن است تفاوت بیان ژن‌ها بیشتر مشهود شود.

### تشکر و قدردانی

نویسندگان مقاله از حمایت‌های مادی و معنوی دانشگاه تربیت مدرس و پژوهشگاه رویان (کد طرح P-90-284) و صندوق حمایت از پژوهشگران و فناوران کشور کمال تشکر را دارند.

### تعارض منافع

نویسندگان اعلام می‌کنند که تضاد منافی در این مطالعه وجود ندارد.

### کد اخلاق: 52112429

سلولی می‌شود و با القای آپوپتوز از ایجاد تومور جلوگیری می‌کند. تخریب DNA عامل اصلی فعالیت این مولکول است (۲۴).

c-Myc یکی دیگر از پروتئین‌هایی است که در تنظیم رشد سلولی و آپوپتوز نقش دارد. تقریباً علت یک‌سوم سرطان‌های انسانی ناشی از بیان تنظیم‌نشده پروتئین c-Myc است و بیان بیش از حد این ژن در مراحل پیشرفته برخی از سرطان‌ها مشاهده می‌شود که با پیش‌آگهی ضعیف بیماری ارتباط مستقیم دارد (۲۵). در اوایل دهه ۱۹۹۰، ایوان و همکارانش عنوان کردند که c-Myc در فرایند آپوپتوز نیز نقش فعالی دارد، به طوری که در سلول‌های نرمال بیان پایینی از c-Myc هست. در مقابل، سلول‌هایی که بیان c-Myc در آن‌ها افزایش می‌یابد، محکوم به مرگ‌اند و تحت فرایند آپوپتوز قرار می‌گیرند (۲۶). در مطالعه حاضر، میزان بیان ژن‌های P53 و c-Myc که هر دو در مرحله دوم آپوپتوز بیان می‌شوند، در گروه VT بالاتر از گروه VT+HA بود؛ اما تنها از نظر بیان ژن c-Myc، میان دو گروه اختلاف معنادار بود. به هر حال، این موضوع نشان می‌دهد هیالورونیک اسید توانسته است بیان ژن‌های مرحله دوم آپوپتوز را کاهش دهد.

Bcl2 یک پروتئین غشایی است که اساساً در غشای خارجی میتوکندری قرار دارد. در پستانداران نوزده عضو از خانواده Bcl2 شناسایی شده است که با توجه به فعالیت و ساختار، به سه دسته تقسیم شده‌اند: دسته اول. اعضای ضد آپوپتوز که مهم‌ترین آن‌ها عبارت‌اند از Bcl2 و Bcl-2؛ دسته دوم. اعضای پرو آپوپتوز که می‌توان از این گروه به Bax و Bak اشاره کرد؛ دسته سوم. مهم‌ترین اعضای گروه سوم عبارت‌اند از Bad، Bin و Bik (۲۷). بررسی‌های مولکولی انجام‌شده یک سیکل پس از پیوند در دو گروه نشان داد که میزان بیان ژن Bcl2 و Bax اختلاف آماری معناداری میان گروه‌ها نداشت. با این حال، در این مرحله نیز گروه دارای هیالورونیک اسید سطح پایین‌تری از بیان ژن‌های آپوپتوزی را داشته است.

کاسپازها اجرایی‌ترین ژن‌های روند آپوپتوز هستند.



## References

1. Demeestere I, Simon P, Emiliani S, Delbaere A, Englert Y. Orthotopic and heterotopic ovarian tissue transplantation. *Hum Rep Up*2009;15:649-65. doi.10.1093/humupd/dmp021.
2. Marin L, Bedoschi G, Kawahara T, Oktay KH. History evolution and current state of ovarian tissue autotransplantation with cryopreserved tissue a successful translational research Journey from 1999 to 2020. *Rep Sci* 2020;1-8. doi.10.1007/s43032-019-00066-9.
3. Kim S, Lee Y, Lee S, Kim T. Ovarian tissue cryopreservation and transplantation in patients with cancer. *Obste Gynecol Sci* 2018;61:431. doi.10.5468/ogs.2018.61.4.431.
4. Donnez J, Dolmans M, Demylle D, Jadoul P, Pirard C, Squifflet J, et al. Restoration of ovarian function after orthotopic intraovarian and periovarian transplantation of cryopreserved ovarian tissue in a woman treated by bone marrow transplantation for sickle cell anaemia case report. *Hum Rep* 2006;21:183-8. doi.10.1093/humrep/dei268
5. Santos R, Amorim C, Cecconi S, Fassbender M, Imhof M, Lornage J, et al. Cryopreservation of ovarian tissue: an emerging technology for female germline preservation of endangered species and breeds. *Anim Rep Sci*2010;122:151-63. doi.10.1016/j.anireprosci.2010.08.010
6. Oktay K. Ovarian tissue cryopreservation and transplantation preliminary findings and implications for cancer patients. *Hum Rep Up* 2001;7:526-34 . doi.10.1093/humupd/7.6.526
7. Fathi R, Rezazadehvalojerdi M, Salehnia M, Ebrahimi B, Salmanyazdi R. Ovarian tissue transplantation advantages disadvantages and upcoming challenges. *J Mazandaran Uni Med Sci* 2014;24:253-65
8. Amorim CA, Curaba M, Van Langendonck A, Dolmans MM, Donnez J. Vitrification as an alternative means of cryopreserving ovarian tissue. *Rep Biomed* 2011;23:160-86
9. Hossay C, Donnez J, Dolmans MM. Whole ovary cryopreservation and transplantation: a systematic review of challenges and research developments in animal experiments and humans. *J Clin Med* 2020;9:3196. doi.10.3390/jcm9103196
10. Roness H, Meirow D. Fertility preservation follicle reserve loss in ovarian tissue transplantation. *Reproduction* 2019;158:35-44. doi.10.1530/REP-19-0097.
11. Damos LL, Silva SMD, Lopes RAM, Sakano CRdSB, Simoes MdJ, Montero EFDS. Study on the vaginal smear of rats submitted to autologous ovarian transplant impact of remote ischemic preconditioning. *Acta Cir Bras*2009;24:387-92. doi.10.1590/S0102-86502009000500009
12. Gao JM, Yan J, Li R, Li M, Yan LY, Wang TR, et al. Improvement in the quality of heterotopic allotransplanted mouse ovarian tissues with basic fibro
13. Liu L, Wood G, Morikawa L, Ayearst R, Fleming C, McKerlie C. Restoration of fertility by orthotopic transplantation of frozen adult Mouse ovaries. *Hum Rep* 2008;23:122-8. doi.10.1093/humrep/dem348
14. Shiraztehrani A, Mazoochi T, Akhavantaheri M, Salehnia M. The effects of ovarian encapsulation with alginate hydrogel on morphology and follicular count of vitrified Mouse ovary. *J Feyz*2019;23:467-75
15. Tehrani AS, Mazoochi T, Taheri MA, Aghadavood E, Salehnia M. The effects of ovarian encapsulation on morphology and expression of apoptosis related genes in vitrified Mouse ovary. *J Rep Inf*2021;22:23 . doi.10.18502/jri.v22i1.4992
16. Gao J, Huang Y, Li M, Zhao H, Zhao Y, Li R, et al. Effect of local basic fibroblast growth factor and vascular endothelial growth factor on subcutaneously allotransplanted ovarian tissue in ovariectomized Mice. *PLos One* 2015;10: 134035. doi.10.1371/journal.pone.0134035
17. Fraser J, Laurent T, Laurent U. Hyaluronan: its nature, distribution, functions and turnover. *J Int Med* 1997;242:27-33. doi.10.1046/j.1365-2796.1997.00170.x
18. Sattar A, Rooney P, Kumar S, Pye D, West DC, Scott I, et al. Application of angiogenic oligosaccharides of hyaluronan increases blood vessel numbers in rat skin. *J Invest Dermatol*1994;103:576-9. doi.10.1111/1523-1747.ep12396880.
19. Morita Y, Tilly JL. Oocyte apoptosis: like sand through an hourglass. *Dev Biol* 1999;213:1-17. doi.10.1006/dbio.1999.9344.
20. Kagawa N, Silber S, Kuwayama M. Successful vitrification of bovine and human ovarian tissue. *Rep Biomed* 2009;18:568-77. doi.10.1016/s1472-6483(10)60136-8.
21. Akhavan Taheri M, Rezazadeh Valojerdi M, Ebrahimi B. Intramuscular autotransplantation of vitrified rat ovary encapsulated with hyaluronic acid hydrogel. *Biopres Biobank*2016;14:114-21. doi.10.1089/bio.2015.0021
22. Wang L, Ying YF, Ouyang YL, Wang JF, Xu J. VEGF and bFGF increase survival of xenografted human ovarian tissue in an experimental Rabbit model. *J Assist Rep Genet* 2013;30:1301-11. doi.10.1007/s10815-013-0043-9
23. Tavana S, Azarnia M, Valojerdi MR, Shahverdi A. Hyaluronic acid based hydrogel scaffold without angiogenic growth factors enhances ovarian tissue function after autotransplantation in Rats. *Biomedical Mate*2016;11: 55006. doi.10.1088/1748-6041/11/5/055006
24. Höpker K, Hagmann H, Khurshid S, Chen S, Schermer B, Benzing T, et al. Putting the brakes on p53 driven apoptosis. *Cell Cycle*2012;11:4122-8. doi.10.4161/cc.21997
25. Prendergast GC. Mechanisms of apoptosis by c Myc. *Oncogene*1999;18:2967-87. doi.10.1038/sj.onc.1202727
26. Evan GI, Wyllie AH, Gilbert CS, Littlewood TD, Land H, Brooks M, et al. Induction of apoptosis in fibroblasts by c myc protein. *Cell*1992;69:119-28. doi.10.1016/0092-8674(92)90123-T
27. Dlamini Z, Mbita Z, Zungu M. Genealogy, expression, and molecular mechanisms in apoptosis. *Pharmacol Ther*2004;101:1-15. d doi.10.1016/j.pharmthera.2003.08.005
28. Schwerck C, Schulze-Osthoff K. Non-apoptotic

- functions of caspases in cellular proliferation and differentiation. *Biochem Pharmacol.* 2003;66(8): 1453-8. doi: 10.1016/S0006-2952(03)00497-0
29. Köhler C, Orrenius S, Zhivotovsky B. Evaluation of caspase activity in apoptotic cells. *J Immunol Meth*2002;265:97-110. doi.10.1016/S0022-1759 (02)00073-X
30. Tavana S, Valojerdi MR, Azarnia M, Shahverdi A. Restoration of ovarian tissue function and estrous cycle in rat after autotransplantation using hyaluronic acid hydrogel scaffold containing VEGF and bFGF. *Growth Fact* 2016;34:97-106. doi.10.1080/08977194.2016.1194835